



Raport

z badań poziomu natężenia pola elektrycznego
w otoczeniu stacji bazowej:

SWI3114

na podstawie sprawozdania P4/14/2022 udostępnionego przez A-CONNECT Anna Garwol-Porosa

Laboratorium prowadzące badania

A-CONNECT Anna Garwol-Porosa
Strażacka 3/2
58-370 Boguszów-Gorce
692 692 875

Zleceniodawca badań

P4 Sp. z o.o.

02-677 Warszawa
790 500 500
kontakt@play.pl

Nr akredytacji: AB 1284

Data wydania sprawozdania: 10.02.2022

Raport zawiera wybrane elementy sprawozdania i służy wyłącznie obrazowemu przedstawieniu informacji o danej instalacji. Raport nie może być wykorzystywany w postępowaniach administracyjnych.

Informacje ogólne

Zgodność z metodyką RMK: Tak

Ograniczenia: Na podstawie art. 122a ust. 1b ustawy Prawo ochrony środowiska (t.j. Dz.U. z 2020 r., poz. 1219, 1378, 1565, 2127, 2338, z 2021 r. poz. 802, 868, 1047, 1162, 1535.), pomiary PEM w lokalach mieszkalnych i użytkowych zlokalizowanych w obszarze pomiarowym badanej stacji bazowej nie zostały przeprowadzone.

Wykorzystanie w obszarze regulowanym: Tak

Przedmiot badań

Identyfikator stacji w UKE	SWI3114
Operator	P4 Sp. z o.o.
Współrzędne	16,2184550; 50,9118330
Rodzaj pracy	ciągła
Rodzaj wytwarzanego pola	stacjonarne

Miejsce badań

Otoczenie stacji bazowej SWI3114 w lokalizacji Dobromierz, dz. nr 35, obręb 0004.

Cel badań

1. Zweryfikowanie zgodności z wymaganiami rozporządzenia Ministra Zdrowia z dnia 19 grudnia 2019 r.

Opis stacji bazowych

Tabela 1: Opis anten badanych stacji bazowych

Lp.	Identyfikator stacji w UKE	Typ Producent anteny	Azymut	H	EIRP	Pasma	Tilt	Tilt w trakcie pomiarów
			[°]	[m]	[W]	[MHz]	[°]	[°]
1	SWI3114	ADU4518R12 Huawei	30	58,50	13003*	LTE 1800 LTE 2100 LTE 800	2,0 - 12,0 2,0 - 12,0 0,0 - 10,0	5,0 5,0 5,0
2		ADU4518R12 Huawei	30	58,50	13003*	LTE 1800 LTE 2100 LTE 800	2,0 - 12,0 2,0 - 12,0 0,0 - 10,0	5,0 5,0 5,0
3		ATR4518R11v06 Huawei	30	58,50	13662*	UMTS 900 LTE 2600 LTE 2600	0,0 - 10,0 0,0 - 10,0 0,0 - 10,0	5,0 5,0 5,0
4		ADU4518R12 Huawei	140	58,50	13003*	LTE 1800 LTE 2100 LTE 800	2,0 - 12,0 2,0 - 12,0 0,0 - 10,0	5,0 5,0 5,0
5		ADU4518R12 Huawei	140	58,50	13003*	LTE 1800 LTE 2100 LTE 800	2,0 - 12,0 2,0 - 12,0 0,0 - 10,0	5,0 5,0 5,0
6		ATR4518R11v06 Huawei	140	58,50	13662*	UMTS 900 LTE 2600 LTE 2600	0,0 - 10,0 0,0 - 10,0 0,0 - 10,0	5,0 5,0 5,0
7		ADU4518R12 Huawei	270	58,50	13003*	LTE 1800 LTE 2100 LTE 800	2,0 - 12,0 2,0 - 12,0 0,0 - 10,0	5,0 5,0 5,0
8		ADU4518R12 Huawei	270	58,50	13003*	LTE 1800 LTE 800 LTE 2100	2,0 - 12,0 0,0 - 10,0 2,0 - 12,0	5,0 5,0 5,0
9		ATR4518R11v06 Huawei	270	58,50	13662*	UMTS 900 LTE 2600 LTE 2600	0,0 - 10,0 0,0 - 10,0 0,0 - 10,0	5,0 5,0 5,0

* moc EIRP łączna dla wszystkich częstotliwości anteny

Warunki pomiarów

Pomiary w wyznaczonych punktach wykonano w następujących warunkach:

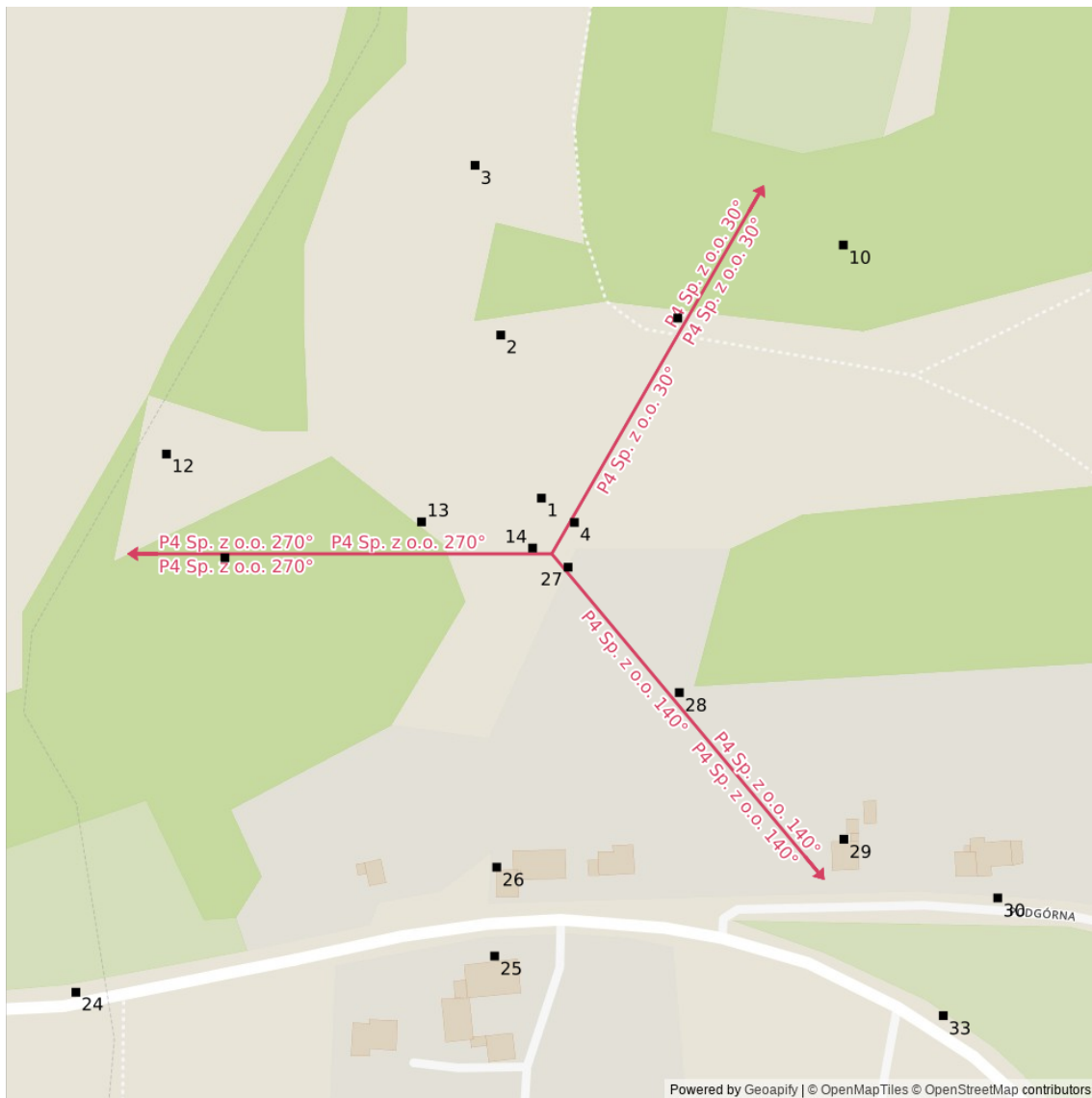
08.02.2022 15:15-16:50			
Warunki środowiskowe	Temperatura [°C]	Wilgotność [%]	Opady
Minimalna	4,5	80,2	brak
Maksymalna	5,7	81,4	

Aparatura

Tabela 2: Aparatura

MIERNIKI I SONDY					
Lp.	Typ / Nazwa	Model	Producent	Próg detekcji	Świadectwo wzorcowania
1a	miernik	NBM-520	Narda		LWiMP/W/068/20 z dn. 02.03.2020 wydane przez LWiMP Politechniki Wrocławskiej
1b	sonda	EF6091	Narda	0,60	
POZOSTAŁE					
Lp.	Typ / Nazwa	Model	Producent	Świadectwo wzorcowania	
2	termohigrometr	P330	DOSTMANN	47102/2016 z dn. 28.11.2016 wydane przez LAB-EL ELEKTRONIKA LABORATORYJNA ANDRZEJ ŁOBZOWSKI, MARIA ŁOBZOWSKA SP. J.	

Lokalizacje pionów pomiarowych



Rysunek 1: Plan terenu

Dodatkowe informacje o punktach

punkt 40: Okno - I p., Bronówek 3

Wyniki pomiarów szerokopasmowych

Tabela 3: Zestawienie lokalizacji pionów pomiarowych oraz wyników pomiarów natężenia pola elektrycznego, pomiary szerokopasmowe

Nazwa	Data	Współrzędne geograficzne	E	WM _E	H	WM _H
		[°]	[$\frac{V}{m}$]		[$\frac{A}{m}$]	
1	08.02.2022	16,2184010 50,9120160	1,85	0,066	0,005	0,067

Ciąg dalszy na następnej stronie

Tabela 3: Zestawienie lokalizacji pionów pomiarowych oraz wyników pomiarów natężenia pola elektrycznego, pomiary szerokopasmowe (c.d.)

Nazwa	Data	Współrzędne geograficzne	E	WM _E	H	WM _H
		[°]	[$\frac{V}{m}$]		[$\frac{A}{m}$]	
2	08.02.2022	16,2181890 50,9125520	1,44	0,051	0,004	0,052
3	08.02.2022	16,2180550 50,9131100	< 1,23	< 0,044	< 0,003	< 0,045
4	08.02.2022	16,2185730 50,9119360	2,26	0,081	0,006	0,082
5	08.02.2022	16,2191120 50,9126080	1,44	0,051	0,004	0,052
6	08.02.2022	16,2205010 50,9140180	1,23	0,044	0,003	0,045
7	08.02.2022	16,2216380 50,9153880	< 1,23	< 0,044	< 0,003	< 0,045
8	08.02.2022	16,2225660 50,9164600	< 1,23	< 0,044	< 0,003	< 0,045
9	08.02.2022	16,2235480 50,9141270	< 1,23	< 0,044	< 0,003	< 0,045
10	08.02.2022	16,2199750 50,9128480	< 1,23	< 0,044	< 0,003	< 0,045
11	08.02.2022	16,2172180 50,9161420	1,23	0,044	0,003	0,045
12	08.02.2022	16,2164460 50,9121610	1,44	0,051	0,004	0,052
13	08.02.2022	16,2177760 50,9119380	1,23	0,044	0,003	0,045
14	08.02.2022	16,2183550 50,9118520	2,05	0,073	0,005	0,074
15	08.02.2022	16,2167510 50,9118200	< 1,23	< 0,044	< 0,003	< 0,045
16	08.02.2022	16,2151800 50,9118640	1,23	0,044	0,003	0,045
17	08.02.2022	16,2139300 50,9118270	1,23	0,044	0,003	0,045
18	08.02.2022	16,2119290 50,9118370	1,64	0,059	0,004	0,060
19	08.02.2022	16,2100780 50,9118600	1,64	0,059	0,004	0,060
20	08.02.2022	16,2106630 50,9130000	1,64	0,059	0,004	0,060
21	08.02.2022	16,2148260 50,9129430	1,44	0,051	0,004	0,052
22	08.02.2022	16,2105980 50,9102770	1,44	0,051	0,004	0,052

Ciąg dalszy na następnej stronie

Tabela 3: Zestawienie lokalizacji pionów pomiarowych oraz wyników pomiarów natężenia pola elektrycznego, pomiary szerokopasmowe (c.d.)

Nazwa	Data	Współrzędne geograficzne	E	WM _E	H	WM _H
		[°]	[$\frac{V}{m}$]		[$\frac{A}{m}$]	
23	08.02.2022	16,2130120 50,9102840	1,85	0,066	0,005	0,067
24	08.02.2022	16,2159740 50,9103920	1,64	0,059	0,004	0,060
25	08.02.2022	16,2181570 50,9105110	1,64	0,059	0,004	0,060
26	08.02.2022	16,2181680 50,9108030	1,44	0,051	0,004	0,052
27	08.02.2022	16,2185400 50,9117890	1,85	0,066	0,005	0,067
28	08.02.2022	16,2191200 50,9113770	1,64	0,059	0,004	0,060
29	08.02.2022	16,2199780 50,9108950	1,85	0,066	0,005	0,067
30	08.02.2022	16,2207800 50,9107020	1,85	0,066	0,005	0,067
31	08.02.2022	16,2213920 50,9107340	1,64	0,059	0,004	0,060
32	08.02.2022	16,2230010 50,9104920	1,44	0,051	0,004	0,052
33	08.02.2022	16,2204960 50,9103150	1,23	0,044	0,003	0,045
34	08.02.2022	16,2212520 50,9097630	< 1,23	< 0,044	< 0,003	< 0,045
35	08.02.2022	16,2226310 50,9087350	< 1,23	< 0,044	< 0,003	< 0,045
36	08.02.2022	16,2238970 50,9078220	< 1,23	< 0,044	< 0,003	< 0,045
37	08.02.2022	16,2246850 50,9085270	< 1,23	< 0,044	< 0,003	< 0,045
38	08.02.2022	16,2225770 50,9095920	1,23	0,044	0,003	0,045
39	08.02.2022	16,2183580 50,9092470	< 1,23	< 0,044	< 0,003	< 0,045
40	08.02.2022	-	< 1,23	< 0,044	< 0,003	< 0,045
41	08.02.2022	16,2209790 50,9085240	< 1,23	< 0,044	< 0,003	< 0,045
42	08.02.2022	16,2224060 50,9078030	< 1,23	< 0,044	< 0,003	< 0,045

Podsumowanie

Na podstawie wyników pomiarów pola elektromagnetycznego przedstawionych w niniejszym raporcie o nr P4/14/2022 opracowanym przez A-CONNECT Anna Garwol-Porosa stwierdza się, że w otoczeniu stacji bazowej SWI3114 dopuszczalne poziomy pól elektromagnetycznych w środowisku, określone w przepisach wydanych na podstawie art. 122 ust. 1 ustawy z dnia 27 kwietnia 2001 r. – Prawo ochrony środowiska uznaje się za **dotrzymane**. Udokumentowano, że w żadnym pionie pomiarowym wartości wskaźnikowe WM_E oraz WM_H nie przekroczyły 1.

Osoby odpowiedzialne

Wykonanie pomiarów: b.d.

Opracowanie sprawozdania: b.d.

Autoryzacja sprawozdania: Łukasz Porosa (Kierownik ds. jakości)